

## Proportional Symbol Maps

Florian Simon

8. Dezember, 2009

# Proportional Symbol Maps

- ▶ Gegeben: Punkte  $p_1, \dots, p_n \in \mathbb{R}^2$  mit zugeordneten Werten  $w_1, \dots, w_n \in \mathbb{R}$

# Proportional Symbol Maps

- ▶ Gegeben: Punkte  $p_1, \dots, p_n \in \mathbb{R}^2$  mit zugeordneten Werten  $w_1, \dots, w_n \in \mathbb{R}$
- ▶ Beispiel:
  - ▶  $p_i$  Ort der Rathäuser eines Landes
  - ▶  $w_i$  Anzahl dort gemeldeter Einwohner

# Proportional Symbol Maps

- ▶ Gegeben: Punkte  $p_1, \dots, p_n \in \mathbb{R}^2$  mit zugeordneten Werten  $w_1, \dots, w_n \in \mathbb{R}$
- ▶ Beispiel:
  - ▶  $p_i$  Ort der Rathäuser eines Landes
  - ▶  $w_i$  Anzahl dort gemeldeter Einwohner
- ▶ Visualisierung mithilfe geometrischer Objekte

# Proportional Symbol Maps



# Proportional Symbol Maps

Ziel:

Eine gültige und  
möglichst gute  
Zeichnung

# Proportional Symbol Maps

Ziel:

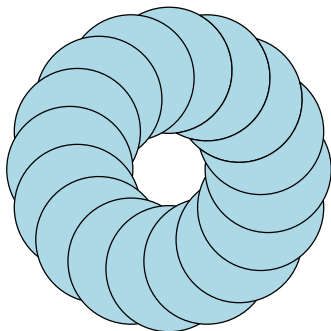
Eine gültige und  
möglichst gute  
Zeichnung

⇒ zwei Klassen von Zeichnungen

⇒ zwei Optimierungsprobleme

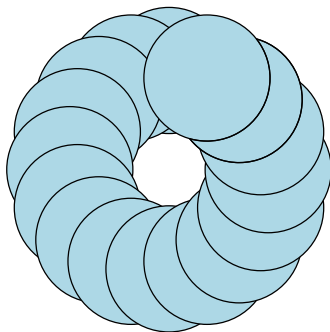
## physikalisch-realisiere Zeichnungen

Eine Zeichnung heißt physikalisch-realisiert, wenn sie mithilfe von Münzen nachgebaut werden kann.



# Stackings

Eine Zeichnung  $S$  heißt Stacking, wenn es eine totale Ordnung unter allen Disks gibt, sodass  $S$  entsteht in dem man die Disks gemäß dieser Ordnung aufeinander stapelt.



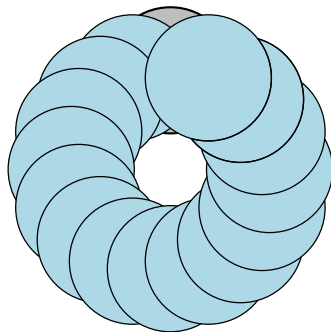
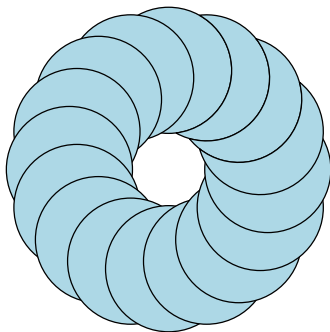
# Zwei Optimierungsprobleme

Gegeben eine Menge von Disks  $S$

- ▶ Max-Min: Finde eine physikalisch-realiserbare Zeichnung (ein Stacking), die den minimal sichtbaren Rand unter allen Disks maximiert.
- ▶ Max-Total: Finde eine physikalisch-realiserbare Zeichnung (ein Stacking), die den insgesamt sichtbaren Rand aller Disks maximiert.

- ▶ Der in einer Zeichnung minimal sichtbare Rand unter allen Disks aus  $S$  wird im Folgenden mit  $\min(S)$  bezeichnet.

- ▶ Der in einer Zeichnung minimal sichtbare Rand unter allen Disks aus  $S$  wird im Folgenden mit  $\min(S)$  bezeichnet.
- ▶  $\min(S)$  kann für physikalisch-realisiere Zeichnungen größer sein als für Stackings. Beispiel:



# Überblick

	Max-Min	Max-Total
physikalisch realisierbar		
Stacking		

# Überblick

	Max-Min	Max-Total
physikalisch realisierbar	$\mathcal{NP}$ -schwer	
Stacking		

## planares 3-SAT ( $p$ -3-SAT)

- ▶ Aussagenlogische Formel  $F$  mit Variablen  $\{x_1, \dots, x_n\}$  und Klauseln  $\{c_1, \dots, c_m\}$

## planares 3-SAT ( $p$ -3-SAT)

- ▶ Aussagenlogische Formel  $F$  mit Variablen  $\{x_1, \dots, x_n\}$  und Klauseln  $\{c_1, \dots, c_m\}$
- ▶  $G(F) := (V, E)$  mit  $V = \{p_1, \dots, p_n, q_1, \dots, q_m\}$  und  $(p_i, q_j) \in E$  genau dann, wenn  $x_i$  in  $c_j$  vorkommt ( $i = 1, \dots, n; j = 1, \dots, m$ )

## planares 3-SAT ( $p$ -3-SAT)

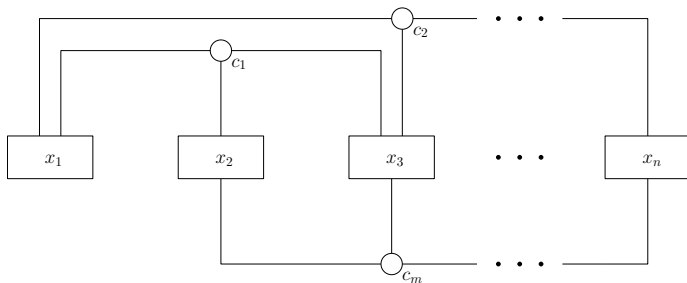
- ▶ Aussagenlogische Formel  $F$  mit Variablen  $\{x_1, \dots, x_n\}$  und Klauseln  $\{c_1, \dots, c_m\}$
- ▶  $G(F) := (V, E)$  mit  $V = \{p_1, \dots, p_n, q_1, \dots, q_m\}$  und  $(p_i, q_j) \in E$  genau dann, wenn  $x_i$  in  $c_j$  vorkommt ( $i = 1, \dots, n; j = 1, \dots, m$ )
- ▶  $F \in p$ -3-SAT  $\Leftrightarrow F \in$  3-SAT und  $G(F)$  planar

## planares 3-SAT ( $p$ -3-SAT)

- ▶ planares 3-SAT ist  $\mathcal{NP}$ -schwer (ohne Beweis)

## planares 3-SAT ( $p$ -3-SAT)

- ▶ planares 3-SAT ist  $\mathcal{NP}$ -schwer (ohne Beweis)
- ▶ Jeder Graph zu einer  $p$ -3-SAT Instanz kann nach folgendem Schema gezeichnet werden:



## Max-Min - $\mathcal{NP}$ -schwer

- ▶ Das Max-Min Problem ist für physikalisch-realisierebare Zeichnungen  $\mathcal{NP}$ -schwer.
- ▶ Vorgehen: Zu einer Instanz  $\mathcal{I} \in p\text{-3-SAT}$  konstruieren wir eine Menge von Disks  $S$  so, dass  $\mathcal{I}$  genau dann erfüllbar ist, wenn es eine physikalisch-realisierebare Zeichnung von  $S$  mit  $\min(S) \geq \frac{3}{4}$  gibt.

# Konstruktion

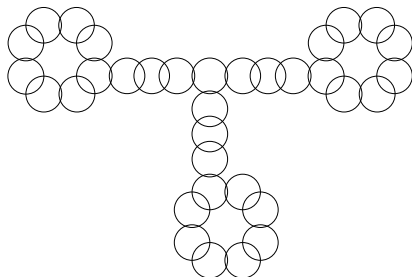
$S$  besteht aus Disks mit Umfang 1 die sich in folgende Komponenten unterteilen lassen:

- ▶ Variablen-Gadgets - für jede in  $\mathcal{I}$  vorkommende Variable
- ▶ Klausel-Gadgets - für jede in  $\mathcal{I}$  vorkommende Klausel
- ▶ Kanäle - repräsentieren die in einer Klausel vorkommenden Literale

# Konstruktion

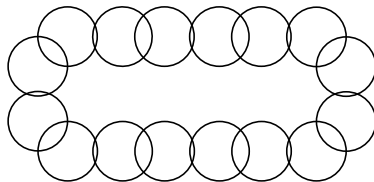
$S$  besteht aus Disks mit Umfang 1 die sich in folgende Komponenten unterteilen lassen:

- ▶ Variablen-Gadgets - für jede in  $\mathcal{I}$  vorkommende Variable
- ▶ Klausel-Gadgets - für jede in  $\mathcal{I}$  vorkommende Klausel
- ▶ Kanäle - repräsentieren die in einer Klausel vorkommenden Literale



# Variablen-Gadgets

Für jede Variable  $x_i$  aus  $\mathcal{I}$ . Zyklisch angeordnete Menge von Disks  $S(x_i)$  mit alternierenden Überlappungen von  $\frac{1}{4}$  und  $\frac{1}{8}$

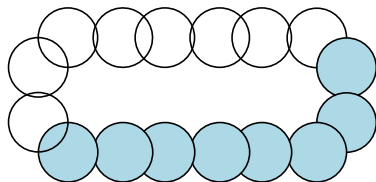
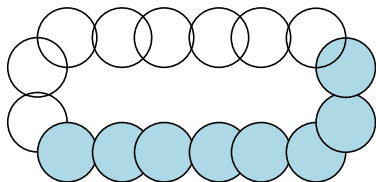


## Variablen-Gadgets

Für  $\min(S) \geq \frac{3}{4}$  muss dann jede Disk zwischen ihren Nachbarn liegen.

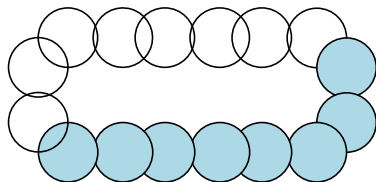
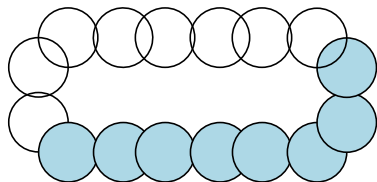
## Variablen-Gadgets

Für  $\min(S) \geq \frac{3}{4}$  muss dann jede Disk zwischen ihren Nachbarn liegen.



## Variablen-Gadgets

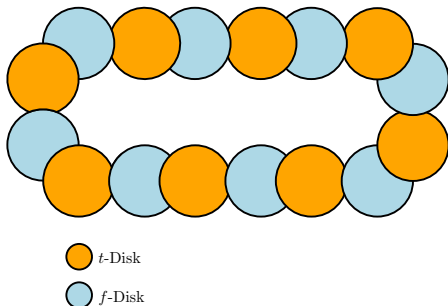
Für  $\min(S) \geq \frac{3}{4}$  muss dann jede Disk zwischen ihren Nachbarn liegen.



- ▶ Überlappungen im Uhrzeigersinn (  $S(x_i) = TRUE$  ) entspricht  $x_i = TRUE$
- ▶ Überlappungen gegen den Uhrzeigersinn (  $S(x_i) = FALSE$  ) entspricht  $x_i = FALSE$

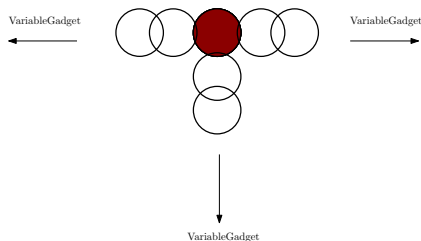
# Variablen-Gadgets

Disks deren Rand für  $S(x_i) = TRUE$  nur zu  $\frac{1}{8}$  überdeckt sind heißen  $t$ -Disks die anderen  $f$ -Disks



# Klausel-Gadgets

Ein Klausel-Gadget besteht aus einer Disk, die drei Kanälenden zu je  $\frac{1}{8}$  überlappt.



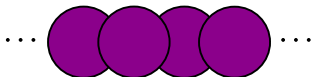
Damit  $\min(S) \geq \frac{3}{4}$  ist, muss eine Disk der Kanälenden von der Klausel-Disk überlappt werden.

# Kanäle

- ▶ Kette von sich jeweils zu  $\frac{1}{4}$  überlappenden Disks
- ▶ Repräsentieren die Literale in den Klauseln
- ▶ Ein Kanal beginnt an einem Variablen-Gadget und endet an einem Klausel-Gadget
- ▶ Für  $\min(S) \geq \frac{3}{4}$  muss jede Disks zwischen ihren Nachbarn liegen

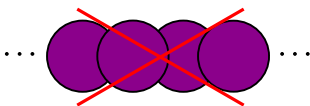
# Kanäle

- ▶ Kette von sich jeweils zu  $\frac{1}{4}$  überlappenden Disks
- ▶ Repräsentieren die Literale in den Klauseln
- ▶ Ein Kanal beginnt an einem Variablen-Gadget und endet an einem Klausel-Gadget
- ▶ Für  $\min(S) \geq \frac{3}{4}$  muss jede Disk zwischen ihren Nachbarn liegen



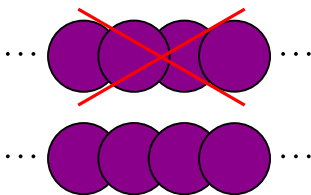
# Kanäle

- ▶ Kette von sich jeweils zu  $\frac{1}{4}$  überlappenden Disks
- ▶ Repräsentieren die Literale in den Klauseln
- ▶ Ein Kanal beginnt an einem Variablen-Gadget und endet an einem Klausel-Gadget
- ▶ Für  $\min(S) \geq \frac{3}{4}$  muss jede Disk zwischen ihren Nachbarn liegen



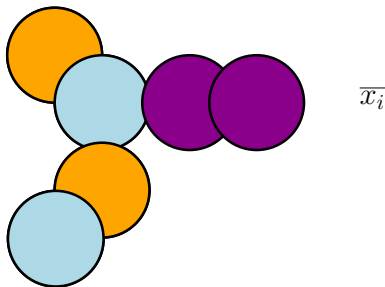
# Kanäle

- ▶ Kette von sich jeweils zu  $\frac{1}{4}$  überlappenden Disks
- ▶ Repräsentieren die Literale in den Klauseln
- ▶ Ein Kanal beginnt an einem Variablen-Gadget und endet an einem Klausel-Gadget
- ▶ Für  $\min(S) \geq \frac{3}{4}$  muss jede Disks zwischen ihren Nachbarn liegen



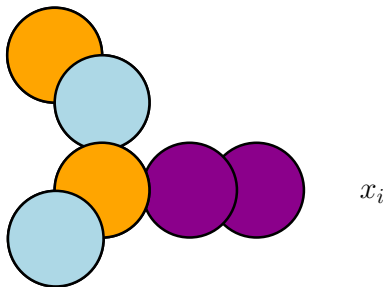
# Kanäle

Repräsentiert ein Kanal das Literal  $\bar{x}_i$ , so überlappt der Anfang des Kanals eine  $f$ -Disk andernfalls eine  $t$ -Disk von  $S(x_i)$



# Kanäle

Repräsentiert ein Kanal das Literal  $\bar{x}_i$ , so überlappt der Anfang des Kanals eine  $f$ -Disk andernfalls eine  $t$ -Disk von  $S(x_i)$



# Kanäle

- ▶ Ein Kanal hat den Wert *TRUE*, falls die Kanal-Disks in Richtung Klausel-Gadget aufsteigend aufeinander liegen
- ▶ Ist  $\min(S) \geq \frac{3}{4}$  so kann die Disk am Ende des Kanals von der Klausel-Disk genau dann überlappt werden, wenn der Kanal den Wert *TRUE* hat.

# Beispiel

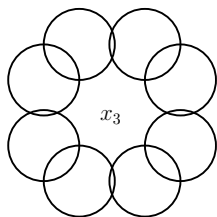
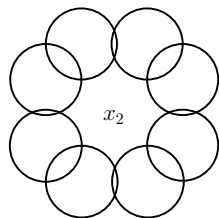
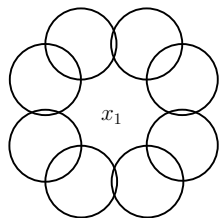
Eine erfüllende Belegung der  $p$ -3-SAT Instanz

$$(x_1 \vee \overline{x_2} \vee \overline{x_3})$$

ist z.B.

$$x_1 = \text{FALSE}, x_2 = \text{TRUE}, x_3 = \text{FALSE}$$

# Beispiel



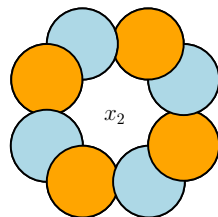
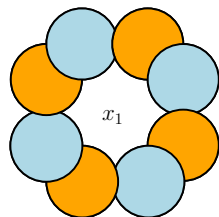
$$x_1 \vee \bar{x}_2 \vee \bar{x}_3$$

$$x_1 = \text{FALSE}$$

$$x_2 = \text{TRUE}$$

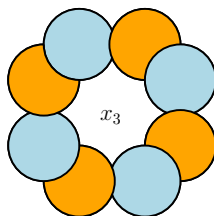
$$x_3 = \text{FALSE}$$

# Beispiel



  $t$ -Disk

  $f$ -Disk



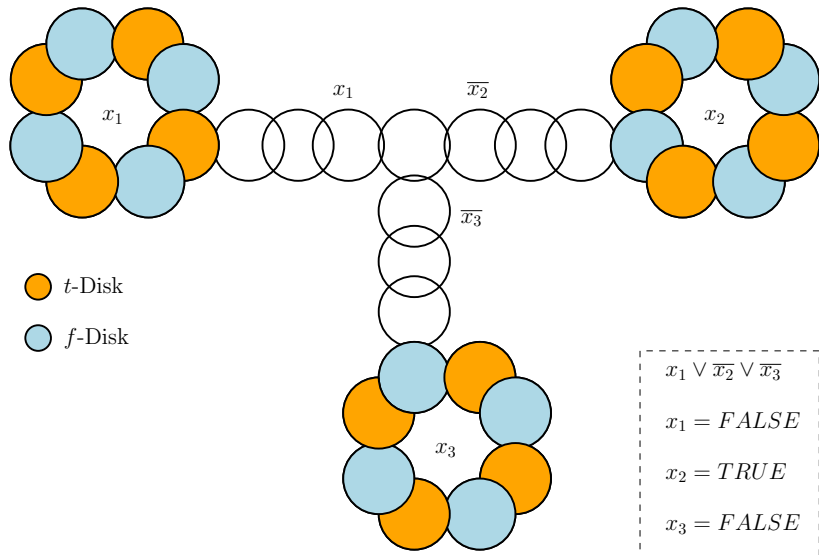
$$x_1 \vee \bar{x}_2 \vee \bar{x}_3$$

$$x_1 = \text{FALSE}$$

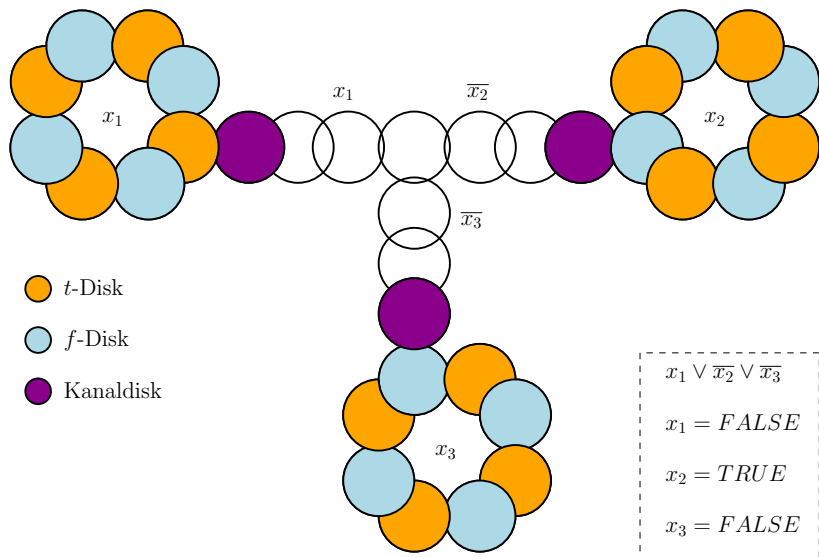
$$x_2 = \text{TRUE}$$

$$x_3 = \text{FALSE}$$

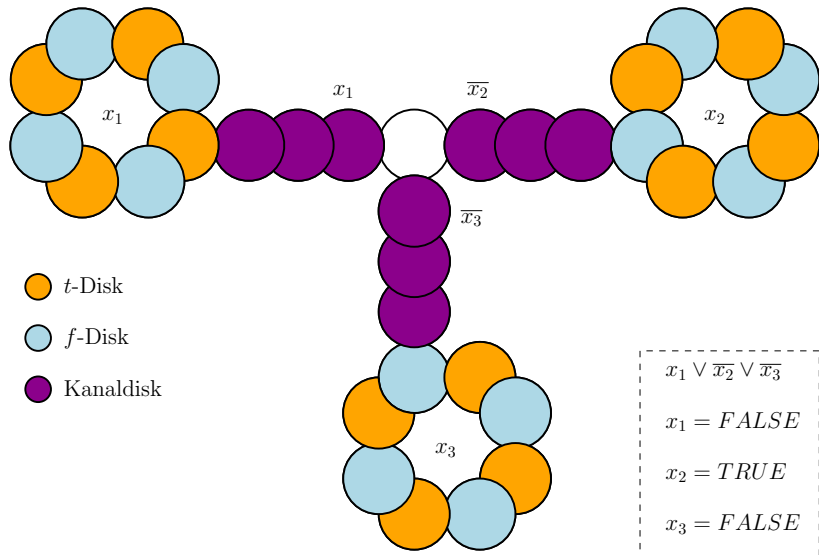
# Beispiel



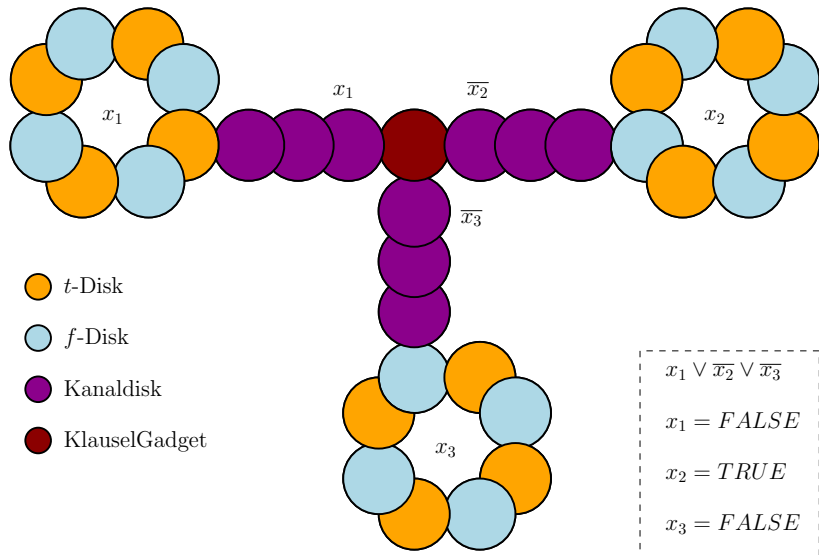
# Beispiel



# Beispiel



# Beispiel



# Resultat

## Theorem

*Es ist  $\mathcal{NP}$ -schwer zu entscheiden ob es für eine gegebene Menge von Disks  $S$  eine physikalisch-realisierebare Zeichnung mit  $\min(S) \geq r$  gibt.*

## Beweis

Sei  $\mathcal{I}$  eine Instanz von  $p$ -3-SAT und  $S$  die Menge von Disks zu  $\mathcal{I}$  nach voriger Konstruktion. Es gilt

$$\mathcal{I} \text{ ist erfüllbar} \Leftrightarrow \min(S) \geq \frac{3}{4}$$



- ▶ Sei  $\mathcal{I}$  erfüllbar.
- ▶ Fixiere eine erfüllende Belegung.
- ▶ Für jede Variable  $x_i$  der Belegung die *TRUE* ist zeichne  $S(x_i)$  im *TRUE* Zustand, die Kanäle von  $x_i$  im *TRUE*-Zustand und die Kanäle von  $\bar{x}_i$  im *FALSE*-Zustand
- ▶ Für jede Variable  $y_i$  der Belegung die *FALSE* ist zeichne umgekehrt



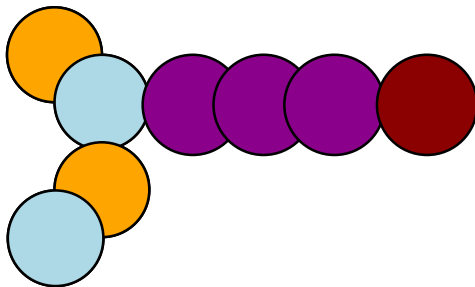
- ▶ Jede Klausel-Disk wird auf die Kanalenden im *TRUE* und unter die Kanalenden im *FALSE* Zustand gezeichnet
- ▶ Da jede Klausel in  $\mathcal{I}$  *TRUE* ist gibt es für jede Klausel-Disk stets ein Kanalende im *TRUE* Zustand
- ▶ Daher sind  $\frac{3}{4}$  des Randes jeder Klausel-Disk sichtbar
- ▶ Die Ränder der restlichen Disks sind nach Konstruktion zu mindestens  $\frac{3}{4}$  sichtbar



- ▶ Angenommen es gibt eine physikalisch-realisierebare Zeichnung von  $S$  mit  $\min(S) \geq \frac{3}{4}$
- ▶ Dann ist jedes Variablen-Gadget  $S(x_i)$  entweder im Zustand *TRUE* oder *FALSE*
- ▶ Dies definiert eine boolesche Belegung der Variablen von  $\mathcal{I}$

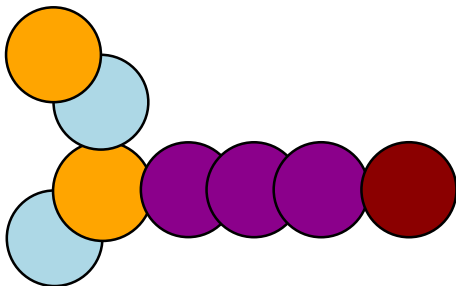


- ▶ Weiter muss jede Klausel-Disk auf einem Kanalende liegen
- ▶ Der zugehörige Kanal ist dann im Zustand *TRUE*, denn sonst wäre der Rand des Kanalansfangs nicht zu  $\frac{3}{4}$  sichtbar





- ▶ Weiter muss jede Klausel-Disk auf einem Kanalende liegen
- ▶ Der zugehörige Kanal ist dann im Zustand *TRUE*, denn sonst wäre der Rand des Kanalansfangs nicht zu  $\frac{3}{4}$  sichtbar





- ▶ Das durch den Kanal repräsentierte Literal erfüllt die Klausel
- ▶ Damit ist die Belegung eine erfüllende Belegung von  $\mathcal{I}$

# Anmerkungen

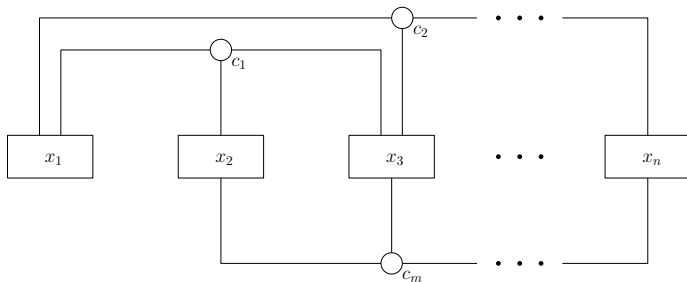
- ▶ Ist das Max-Min Problem in  $\mathcal{NP}$ ?

# Anmerkungen

- ▶ Ist das Max-Min Problem in  $\mathcal{NP}$ ?
- ▶ Warum überhaupt planares 3-SAT?

# Anmerkungen

- ▶ Ist das Max-Min Problem in  $\mathcal{NP}$ ?
- ▶ Warum überhaupt planares 3-SAT?
- ▶ Ist die Konstruktion polynomiell?



# Überblick

	Max-Min	Max-Total
physikalisch realisierbar	$\mathcal{NP}$ -schwer	
Stacking		

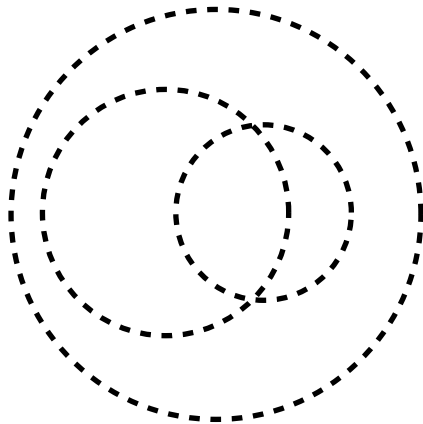


# Überblick

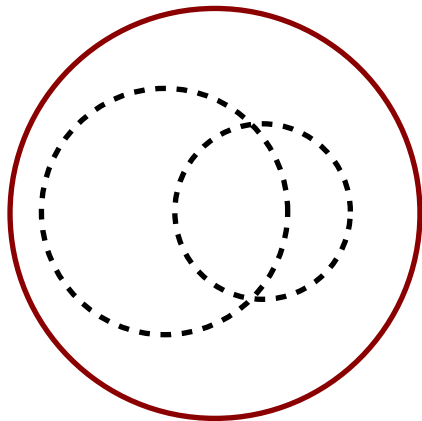
	Max-Min	Max-Total
physikalisch realisierbar	$\mathcal{NP}$ -schwer	
Stacking	in $\mathcal{P}$	



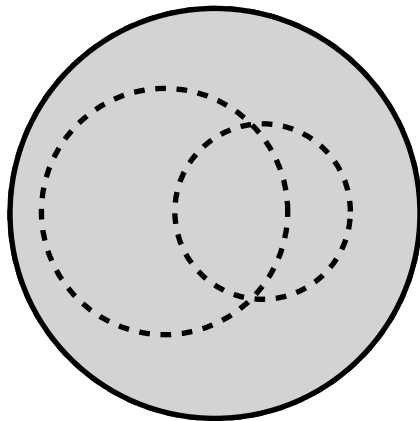
# Ein Greedy-Algorithmus



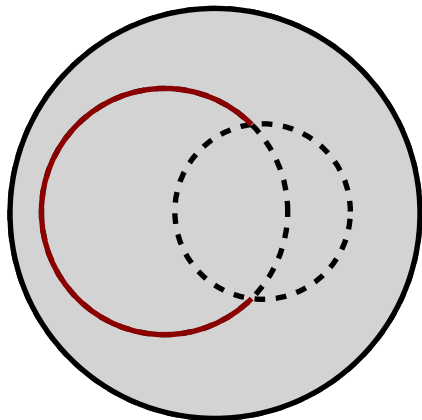
# Ein Greedy-Algorithmus



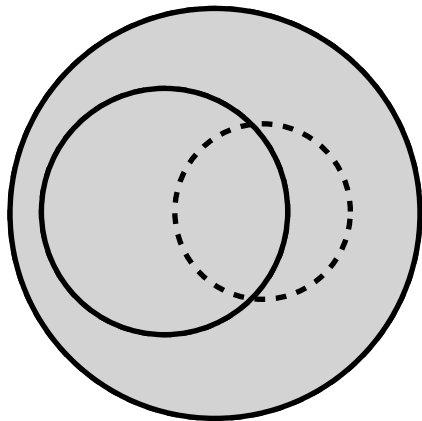
# Ein Greedy-Algorithmus



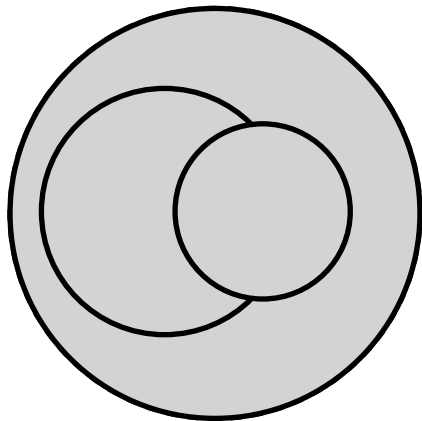
# Ein Greedy-Algorithmus



# Ein Greedy-Algorithmus



# Ein Greedy-Algorithmus



# Optimales Max-Min Stacking

**Algorithm:** SucheUntersteDisk( $S$ )

**Data:** Set of Disks  $S = \{D_1, \dots, D_n\}$

**for**  $i \leftarrow 1$  **to**  $n$  **do**

    | Bestimme den sichtbaren Rand  $vis(D_i)$  von  $D_i$ , wenn  $D_i$  die  
    | unterste Disk wäre

**end**

Sei  $vis(D_k) = \max_{i=1, \dots, n} vis(D_i)$

Zeichne  $D_k$

SucheUntersteDisk( $S \setminus \{D_k\}$ )

# Optimales Max-Min Stacking

- ▶ Dieser Algorithmus liefert ein optimales Stacking
- ▶ Sei  $A$  das Stacking des Algorithmus und  $A[i]$  die  $i$ -te Disk der Stacking-Reihenfolge
- ▶ Sei  $O^0$  ein optimales Stacking und  $O^0[i]$  die  $i$ -te Disk dieses Stackings
- ▶ Vorgehen: Iterative Konstruktion von Zwischenstackings  $O^1, \dots, O^n$  mit  $O^n = A$  und

$$\min(O^k) \geq \min(O^{k-1})$$

## Optimales Max-Min Stacking

$A$	$O^0$	$O^2$
$D_1$	$D_1$	
$D_2$	$D_4$	
$D_3$	$D_3$	
$D_4$	$D_2$	
$D_5$	$D_5$	

## Optimales Max-Min Stacking

$A$	$O^0$	$O^2$
$D_1$	$D_1$	
$D_2$	$D_4$	
$D_3$	$D_3$	
$D_4$	$D_2$	
$D_5$	$D_5$	

## Optimales Max-Min Stacking

$A$	$O^0$	$O^2$
$D_1$	$D_1$	
$D_2$	$D_4$	
$D_3$	$D_3$	
$D_4$	$D_2$	
$D_5$	$D_5$	

## Optimales Max-Min Stacking

$A$	$O^0$	$O^2$
$D_1$	$D_1$	
$D_2$	$D_4$	
$D_3$	$D_3$	
$D_4$	$D_2$	
$D_5$	$D_5$	



## Optimales Max-Min Stacking

$A$	$O^0$	$O^2$
$D_1$	$D_1$	$D_1$
$D_2$	$D_4$	$D_2$
$D_3$	$D_3$	$D_4$
$D_4$	$D_2$	$D_3$
$D_5$	$D_5$	$D_5$

## Optimales Max-Min Stacking

$A$	$O^0$	$O^2$
$D_1$	$D_1$	$D_1$
$D_2$	$D_4$	$D_2$
$D_3$	$D_3$	$D_4$
$D_4$	$D_2$	$D_3$
$D_5$	$D_5$	$D_5$

## Optimales Max-Min Stacking

$A$	$O^0$	$O^2$
$D_1$	$D_1$	$D_1$
$D_2$	$D_4$	$D_2$
$D_3$	$D_3$	$D_4$
$D_4$	$D_2$	$D_3$
$D_5$	$D_5$	$D_5$

## Optimales Max-Min Stacking

$A$	$O^0$	$O^2$
$D_1$	$D_1$	$D_1$
$D_2$	$D_4$	$D_2$
$D_3$	$D_3$	$D_4$
$D_4$	$D_2$	$D_3$
$D_5$	$D_5$	$D_5$

# Laufzeit

- ▶ Die zugrundeliegende Datenstruktur sind die sogenannten Segment-Trees
- ▶ Die Laufzeit wird  $\mathcal{O}(n^2 \log n)$  sein
- ▶ Also ist das Max-Min Problem für Stackings in  $\mathcal{P}$

# Segment-Trees

- ▶ Gegeben eine Menge von Intervallen (Eingabeintervallen)

$$I = \{I_1, I_2, \dots, I_n\}$$

mit  $I_i = [x_i, x'_i] \subseteq \mathbb{R}$

- ▶ Frage: In welchen Intervallen liegt ein Punkt  $q \in \mathbb{R}$

# Segment-Trees

Die End- und Schnittpunkte der Eingabeintervalle

$$I = \{I_1, I_2, \dots, I_n\}$$

induzieren eine Zerlegung von  $I$  in elementare Intervalle

$$I = \{\alpha_1, \alpha_2, \dots, \alpha_m\}$$

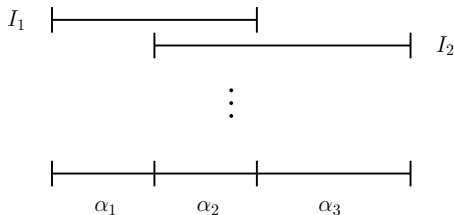
# Segment-Trees

Die End- und Schnittpunkte der Eingabeintervalle

$$I = \{I_1, I_2, \dots, I_n\}$$

induzieren eine Zerlegung von  $I$  in elementare Intervalle

$$I = \{\alpha_1, \alpha_2, \dots, \alpha_m\}$$

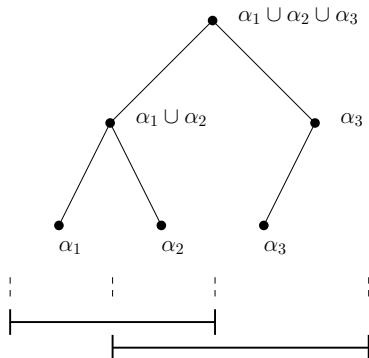


## Knotenintervalle

Ein Segment-Tree zu  $I$  ist ein binärer Baum an dessen Blättern  $\mu_i$  in  $Int(\mu_i)$  die Intervalle  $\alpha_i$  und in dessen inneren Knoten  $v$  in  $Int(v)$  die Intervalle  $Int(lc(v)) \cup Int(rc(v))$  gespeichert werden. Die Intervalle  $Int(\cdot)$  heißen Knotenintervalle.

# Knotenintervalle

Ein Segment-Tree zu  $I$  ist ein binärer Baum an dessen Blättern  $\mu_i$  in  $Int(\mu_i)$  die Intervalle  $\alpha_i$  und in dessen inneren Knoten  $v$  in  $Int(v)$  die Intervalle  $Int(lc(v)) \cup Int(rc(v))$  gespeichert werden. Die Intervalle  $Int(\cdot)$  heißen Knotenintervalle.

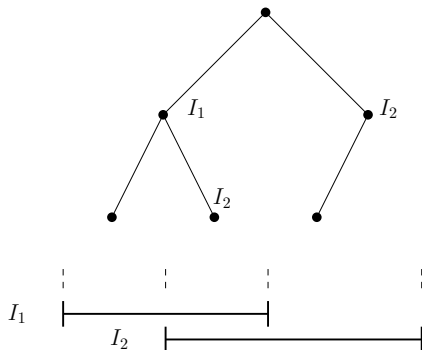


# Eingabeintervalle

Jeder Knoten  $v$  speichert zusätzlich eine Menge von Eingabeintervallen  $I(v) \subseteq I$ . Es gilt  $I_i \in I(v)$  genau dann, wenn  $Int(v) \subseteq I_i$  und  $Int(parent(v)) \not\subseteq I_i$

# Eingabeintervalle

Jeder Knoten  $v$  speichert zusätzlich eine Menge von Eingabeintervallen  $I(v) \subseteq I$ . Es gilt  $I_i \in I(v)$  genau dann, wenn  $Int(v) \subseteq I_i$  und  $Int(parent(v)) \not\subseteq I_i$



# Segment-Trees

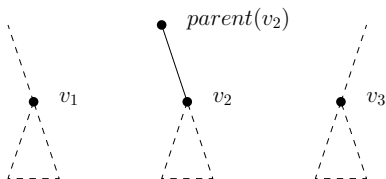
## Lemma

*Ein Eingabeintervall wird pro Baumlevel höchstens in zwei Knoten gespeichert.*

# Segment-Trees

## Lemma

*Ein Eingabeintervall wird pro Baumlevel höchstens in zwei Knoten gespeichert.*

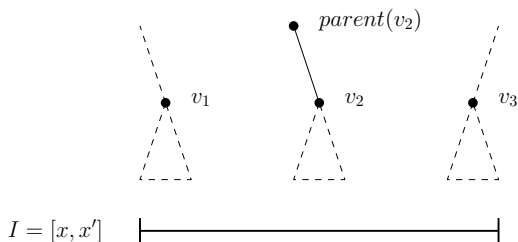


$$I = [x, x']$$

# Segment-Trees

## Lemma

*Ein Eingabeintervall wird pro Baumlevel höchstens in zwei Knoten gespeichert.*



# Segment-Trees

**Algorithm:** Insert( $v, I$ )

**if**  $Int(v) \subseteq I$  **then**

| Speichere  $I$  in  $v$

**else**

| **if**  $Int(lc(v)) \cap I \neq \emptyset$  **then**

| | Insert( $lc(v), I$ )

| **end**

| **if**  $Int(rc(v)) \cap I \neq \emptyset$  **then**

| | Insert( $rc(v), I$ )

| **end**

**end**

# Segment-Trees

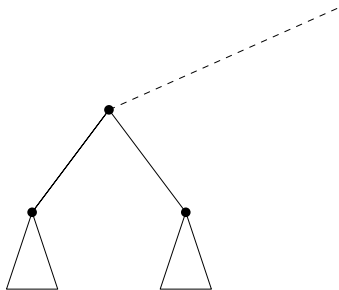
## Lemma

*Pro Baumlevel werden beim Einfügen eines Eingabeknotens höchstens vier Knoten besucht*

# Segment-Trees

## Lemma

*Pro Baumlevel werden beim Einfügen eines Eingabeknotens höchstens vier Knoten besucht*

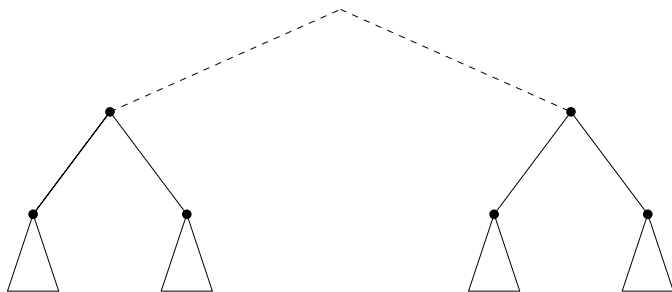


$I = [x, x']$  |—————

# Segment-Trees

## Lemma

*Pro Baumlevel werden beim Einfügen eines Eingabeknotens höchstens vier Knoten besucht*

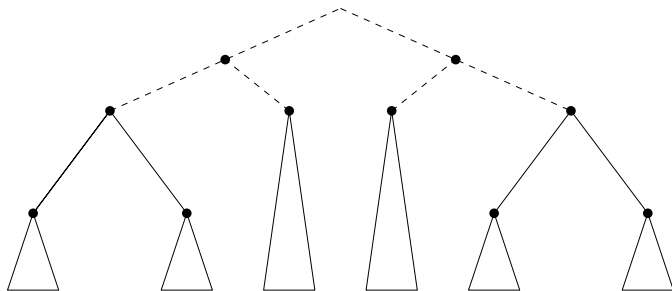


$I = [x, x']$

# Segment-Trees

## Lemma

*Pro Baumlevel werden beim Einfügen eines Eingabeknotens höchstens vier Knoten besucht*



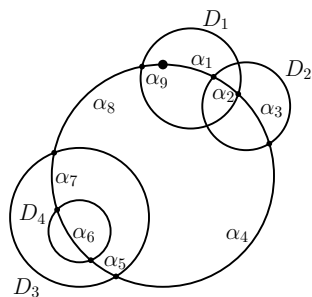
$I = [x, x']$  |-----|

# Segment-Trees

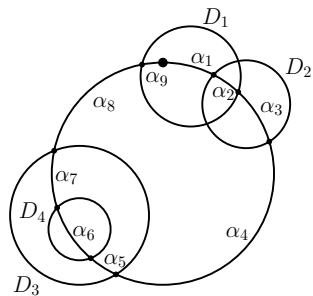
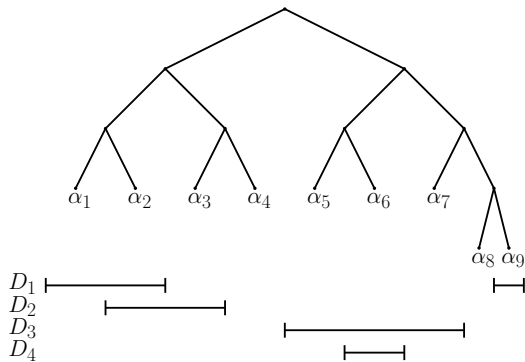
- ▶ Das Einfügen und Suchen eines Eingabeknotens in einem Segment-Tree ist in  $\mathcal{O}(\log n)$
- ▶ Die Konstruktion eines Segment-Trees aus  $n$  Eingabeintervallen ist in  $\mathcal{O}(n \log n)$

# Implementierung

- ▶ Rand einer Disk  $D_j$  als Intervall vom obersten Punkt im Uhrzeigersinn
- ▶ Schnittpunkte mit anderen Disks definieren die Elementarintervalle
- ▶ Jede andere Disk  $D_i$  überdeckt kein, ein oder zwei Intervalle von  $D_j$



# Implementierung



# Implementierung

- ▶ Für jede Disk  $D_i$  ein Segment-Tree mit Eingabeintervallen  $D_j$  ( $i \neq j$ )
- ▶ Speichere an jedem Knoten  $v$  von  $D_i$  die Werte  $Int(v)$ ,  $I(v)$  und  $vis(v)$

# Implementierung

- ▶ Für jede Disk  $D_i$  ein Segment-Tree mit Eingabeintervallen  $D_j$  ( $i \neq j$ )
- ▶ Speichere an jedem Knoten  $v$  von  $D_i$  die Werte  $Int(v)$ ,  $I(v)$  und  $vis(v)$
- ▶  $vis(v)$  ist definiert durch

$$vis(v) = \begin{cases} 0, & \text{falls } |I(v)| \geq 1 \\ vis(lc(v)) + vis(rc(v)), & \text{falls } v \text{ innerer Knoten} \\ |Int(v)|, & \text{falls } v \text{ Blatt} \end{cases}$$

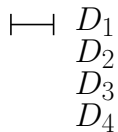
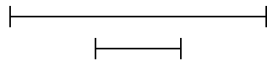
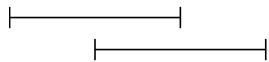
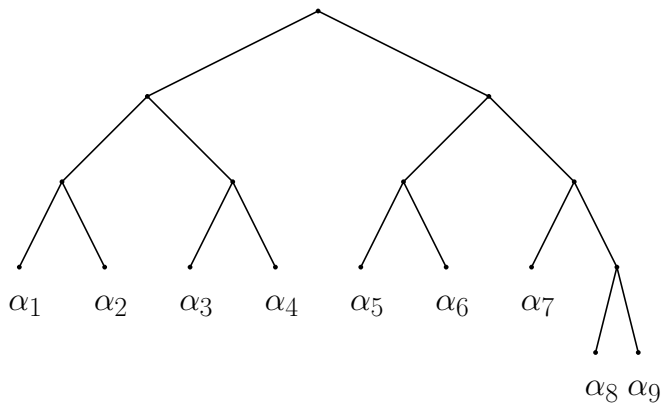
# Implementierung

- ▶ Für jede Disk  $D_i$  ein Segment-Tree mit Eingabeintervallen  $D_j$  ( $i \neq j$ )
- ▶ Speichere an jedem Knoten  $v$  von  $D_i$  die Werte  $Int(v)$ ,  $I(v)$  und  $vis(v)$
- ▶  $vis(v)$  ist definiert durch

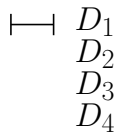
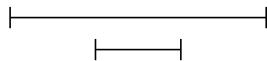
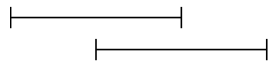
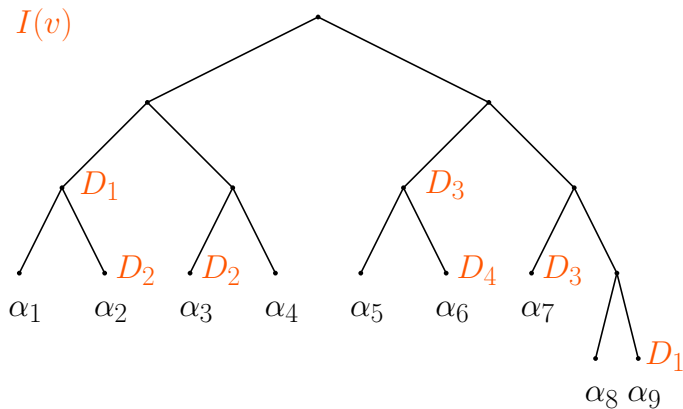
$$vis(v) = \begin{cases} 0, & \text{falls } |I(v)| \geq 1 \\ vis(lc(v)) + vis(rc(v)), & \text{falls } v \text{ innerer Knoten} \\ |Int(v)|, & \text{falls } v \text{ Blatt} \end{cases}$$

- ▶  $vis(\text{root}(T_i))$  ist der sichtbare Rand von  $D_i$  falls alle Disks  $D_j$  auf  $D_i$  gezeichnet werden.

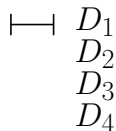
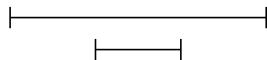
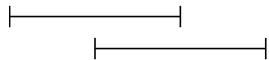
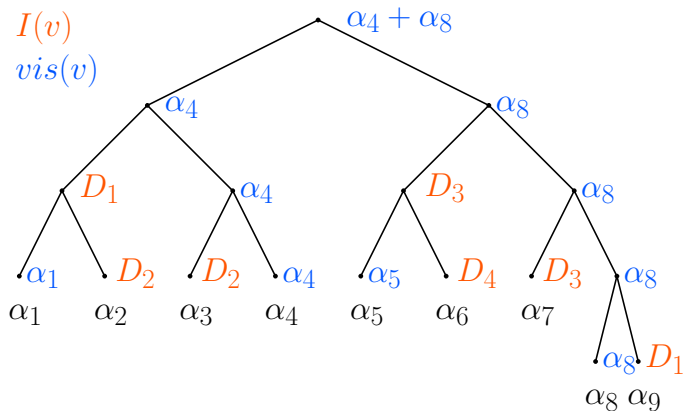
# Implementierung



# Implementierung



# Implementierung



# Implementierung

- ▶ Ein Schritt des Algorithmus:
- ▶ Suche  $D_i$  so, dass

$$vis(\text{root}(T_i)) = \max_{j=1, \dots, n} vis(\text{root}(T_j))$$

# Implementierung

- ▶ Ein Schritt des Algorithmus:
- ▶ Suche  $D_i$  so, dass

$$vis(\text{root}(T_i)) = \max_{j=1, \dots, n} vis(\text{root}(T_j))$$

- ▶ Lösche  $T_i$  und zeichne  $D_i$

# Implementierung

- ▶ Ein Schritt des Algorithmus:
- ▶ Suche  $D_i$  so, dass

$$vis(\text{root}(T_i)) = \max_{j=1, \dots, n} vis(\text{root}(T_j))$$

- ▶ Lösche  $T_i$  und zeichne  $D_i$
- ▶ Für  $i \neq j$ : Lösche das Eingabeintervall  $D_i$  aus allen Baumknoten  $v \in T_j$  und aktualisiere  $vis(\mu)$  für alle Knoten von  $v$  bis zur Wurzel

# Implementierung

- ▶ Ein Schritt des Algorithmus:
- ▶ Suche  $D_i$  so, dass

$$vis(\text{root}(T_i)) = \max_{j=1, \dots, n} vis(\text{root}(T_j))$$

- ▶ Lösche  $T_i$  und zeichne  $D_i$
- ▶ Für  $i \neq j$ : Lösche das Eingabeintervall  $D_i$  aus allen Baumknoten  $v \in T_j$  und aktualisiere  $vis(\mu)$  für alle Knoten von  $v$  bis zur Wurzel
- ▶ Ein Schritt des Algorithmus ist damit in  $\mathcal{O}(n \log n)$

# Laufzeit

- ▶ Das Erstellen der  $n$  Segment-Trees ist in  $\mathcal{O}(n^2 \log n)$
- ▶ Die Gesamtlaufzeit ist also in  $\mathcal{O}(n^2 \log n)$

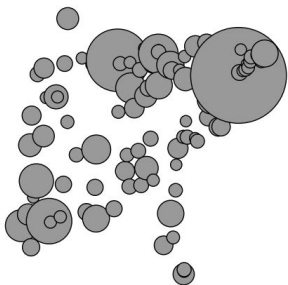
# Überblick

	Max-Min	Max-Total
physikalisch realisierbar	$\mathcal{NP}$ -schwer	
Stacking	in $\mathcal{P}$	

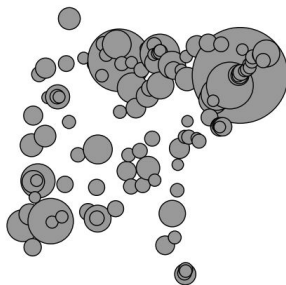
# Überblick

	Max-Min	Max-Total
physikalisch realisierbar	$\mathcal{NP}$ -schwer	$\mathcal{NP}$ -schwer
Stacking	in $\mathcal{P}$	?

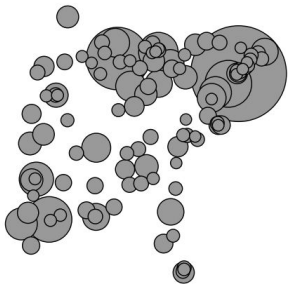
# Evaluation



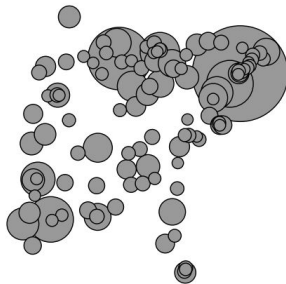
(a) Left-to-right by center.



(b) Left-to-right by leftmost.

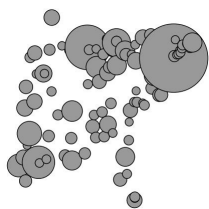


(c) Large-to-small.

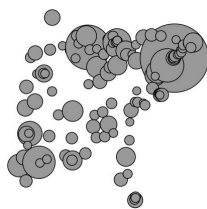


(d) Max-Min.

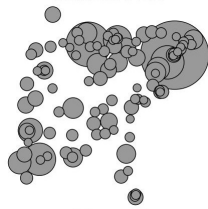
# Evaluation



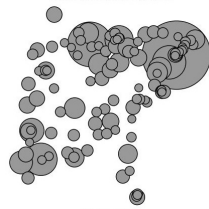
(a) Left-to-right by center.



(b) Left-to-right by leftmost.



(c) Large-to-small.



(d) Max-Min.

	Top-10 average		Total boundary	
	Absolute	(Relative)	Absolute	(Relative)
Left-to-right by center	0.00	(0.00%)	1405	(57.76%)
Left-to-right by leftmost	2.14	(21.48%)	1711	(74.84%)
Large-to-small	2.72	(25.48%)	1730	(78.21%)
Max-Min	4.42	(43.03%)	1759	(79.33%)

